

二成層密度流の境界面附近における乱れの一計測

東北大学工学部 正員 岩崎敏夫
東北大学大学院 学生員 阿部至雄

1. はしがき

河口などで発生する密度流的諸問題の中には、水質汚濁や大気汚染とも関連して、流れの場の安定度と拡散係数との関係など解決に直まれてゐる問題も少くない。ところが、そこには生じる現象が乱流現象であるためそれらの問題の解決と一緒に難しくしている。そこで、その種の乱流拡散現象を解明していくためには拡散機構と知るとともに、乱れの特性を明らかにしてゆく必要が生じてくる。

密度流などの拡散問題への最も直接的なアプローチの仕方は、流体の微小部分における拡散物質の保存の条件より導かれる拡散方程式に基づく方法であるが、この場合には拡散係数が問題である。一般にそれは一定ではなく濃度・時間・場所などの関数であって、流速との他の平均的特性に関して明白に表わすことは非常に難しい。そこで、現象の比較的安定した状態に着目し、不等流的の把握することにより、内部境界面に働くセン断应力によつて、それらの現象と解明しようとする方法がある。この系列の研究は純粹な摩擦抵抗や内絶波発生に基づく造波抵抗などその主因と求める所まで研究は進んでゐる。また、現象の不安定な状態に着目し、乱流的立場から Orr-Sommerfeld Type の発生理論に基づいた不安定問題としての扱いもあるが、実験的裏付けを得ることはかなり難かしい。一般的に言ふ、1 乱れの実験的研究は困難にして、その基本的原因は、乱れのデーターをつかむこと入手し、その時々刻々変化する膨大なデーター量をいかに処理して、然る後、その測定結果をどのようにして解析・評価していくかの点にある。

われわれは、淡塩界面の不安定状態および乱流拡散について研究するため、速度変動の計測と塩分の輸送速度によつておこなつたが、今回これら熱線流速計と用いて精度のあがる測定をおこなつたので、ここに報告する。

2. 実験

実験用水路は、長さが3.8m、幅(B)が15cm、深さが30cmの二次元水路で、その水路上流側にセキ高10cm、長さ182.4cmの広頂セキが据えられてある。その水路の勾配は水平に調整され、また、塩水は広頂セキセキ高(H₀)10cmまで注入し、淡水厚(H)は実験流量Qが1.2l/secのとき、10cmになるよう水路の下流にあるセキによつて調整された。実験は密度差が0%及び0.01%の下層静止の場合について、それぞれ、広頂セキセキ端と流程x=130とし、そこから下流へ10cm毎に140, 150, 160の各断面において、鉛直上方にy=0(広頂セキセキ頂), 0.5, 1.0, 1.5cmの各測点で乱れの測定をおこなつた。流程130 mの断面平均流速U(=7.9cm/sec)と用い、たときのFr=U/√gH₀及びRe=UH₀/νは、それぞれ8.0×10²及び6.32×10³である。

3. 実験結果に基づく解析

図1に得られた速度変動の記録の一例を示す。そのようなデーターは、一般には定常確率過程とみなされるが、その測定結果を評価する際には注意しなければならないことは、測定器の感度(周波数応答)

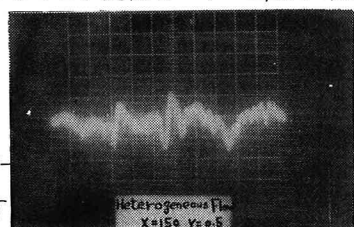


図1 速度変動の記録の一例

特性) S や記録の読み取り間隔(平均化時間) Δt 及び記録時間 T が有限であることなどによって生じるスペクトルの歪みの問題である。すなまち、測定あることは解析のときの近似的に $1/2S$ (cps) 以上および $1/2T$ (cps) 以下の周波数成分はすべてカットされ同じ結果になってしまって、 $T/S = 100$ の場合のこの関係を図-2 に示す ($T \gg S$)。図中の $G(T, S)$ は計器のひずみ係数を示すものであった。それ故、得られたデーターは計器の感度内、すなまち $G(T, S) = 1$ の領域内で区分し、解析されねばならぬ。すなまし周知の如く、この種のスペクトル解析の方法には BLACKMAN & TUKEY の方法と COOLEY & TUKEY の方法と二つある。実際のデーター処理は、いわん アネモメーターの出力である速度変動のデーターとデーターをコマグリーヨ、テ磁気テープに収録し、然る後そのデーターと相乘計算掛けることによつて、生の自己相関関数 $R(r)$ を求めた。次に、それらの相関から WIENER-KINCHINE の関係式を用いてパワースペクトルを求めた。

$$P\left(\frac{r}{M \cdot 2\pi}\right) = 2\Delta t \left\{ R(0) + 2 \sum_{k=1}^{M-1} R(k) \cdot \cos\left(2\pi \frac{r}{2M} k\right) + (-1)^r R(M) \right\} \quad r = 0, 1, \dots, M \quad (1)$$

さらば、SPECTRAL WINDOWとして HANNING のものと用いた。 (1) 式で得られたスペクトルの平滑化を行なつた。

$$W\left(\frac{r}{M \cdot 2\pi}\right) = \sum_{m=-\infty}^{\infty} a_m P\left(\frac{r-m}{M \cdot 2\pi}\right) \quad r = 0, 1, \dots, M \quad (2)$$

ここで、 $\sum_m a_m = 1$ であつて、いま $a_0 = 0.50$, $a_1 (= a_{-1}) = 0.25$ である。

なお、計算の際のデーター読み取り間隔は 50 msec で、LA の最大値 M は 95、計算時間は 43 秒である。また、使用したアネモメーターの周波数応答は 350 KHz であるが、解析の都合上、0.36 Hz 以下および 6.6 Hz 以上の周波数成分は相関を求める過程でカットした。自己相関 $R(r)$ およびスペクトル $W(r)$ の計算結果と流程 130, 140, 150, 160 の場合について、図-3 および図-4 に示した。

4. 計算結果の基づく考察

次に、得られた計算結果から、若干の傾向を簡単に考察する。

図-4-1 からわかるように、均質な流れの場合、各測点とも全体的な傾向として卓越周波数から高周波側へかけてのスペクトルの減衰の仕方は Kolmogoroff の言いう $-5/3$ 乗則に比較的類似した傾向を示してゐる。また、その卓越周波数は流程が 140 程度までは多少ばらつくとはいうものの、流程が 150 になると、水深方向にも、ほぼ 0.4 cps 程度で卓越した渦が支配的になつてきている。図-3-1 からは、相関が零になる Time Lag は約 0.4 ～ 0.5 秒の範囲で各断面とも水深方向に衡してほぼ一定であることが知れる。

次に、不均質な流れになると、図-3-2 からわかるように、その Time Lag は流程が 160 の測定断面で約 0.3 秒程度で一定ではなく、が、140 及び 150 ではかなりばらつく。また、全体的な相関が零になるのも、均質な流れに比較して早くなる。それ故、一応密度勾配によつて乱れのスケールが減少していると考えられる。このことは図-4-2 のスペクトルのピークの高周波側への移動からもわかる。流程が 150 の方が 0.5 および 1.0 の測点においてその傾向がよくあらわれている。また、全体的なスペクトルの形も不規則になり、支配的な渦のしめる周波数帯も広くなつて、しがつて、内部境界面の影響が上方に直接顕著に及ぶのは界面上の狭い領域で、それより上方では乱れのエネルギーは漏洩し、比較的定常的な乱流現象を呈してゐると思われる。

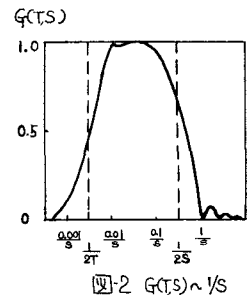


図-2 $G(T, S) \sim T/S$

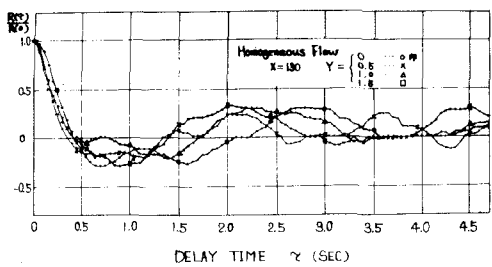


図 3-1-1 X=130

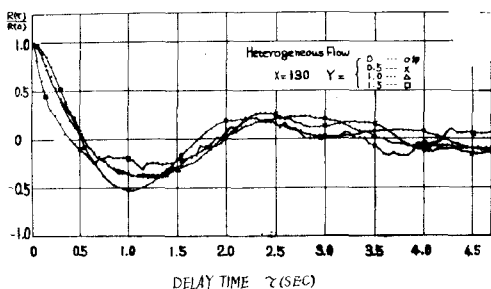


図 3-2-1 X=130

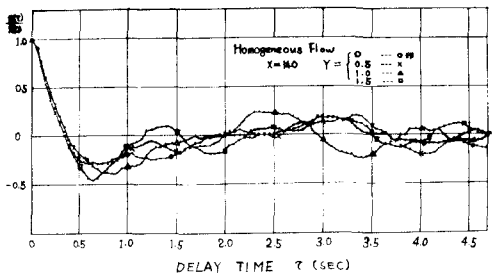


図 3-1-2 X=140

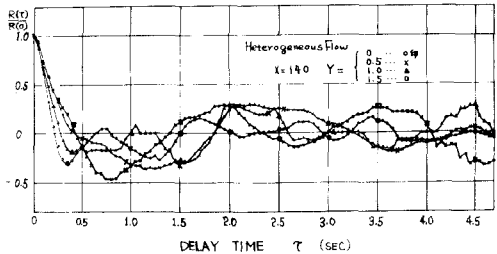


図 3-2-2 X=140

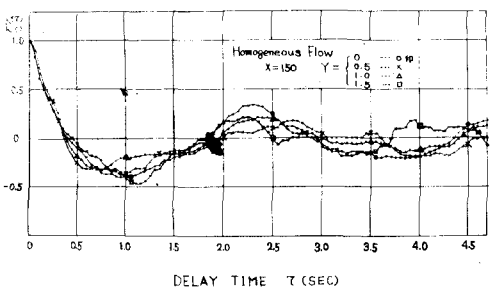


図 3-1-3 X=150

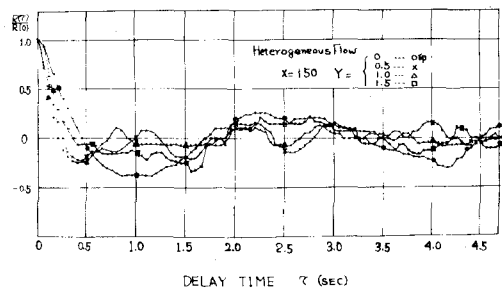


図 3-2-3 X=150

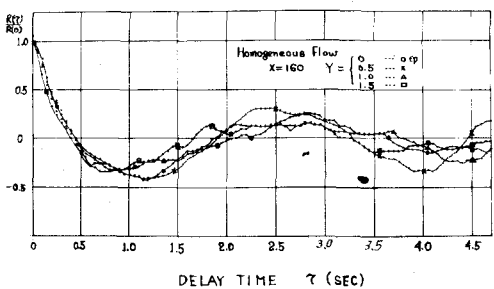


図 3-1-4 X=160

均質流れにおける自己相関函数

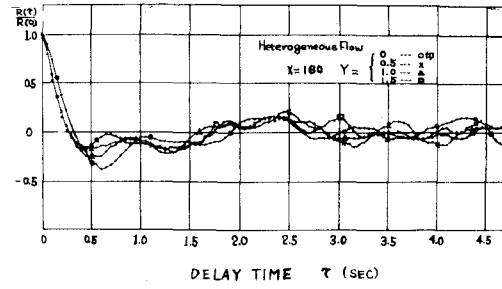


図 3-2-4 X=160

不均質流れにおける自己相関函数

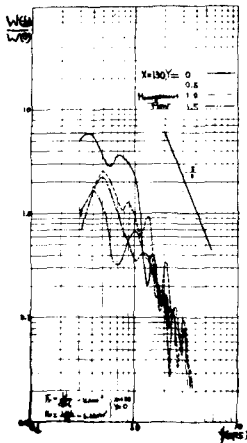


図4-1-1 $X=130$

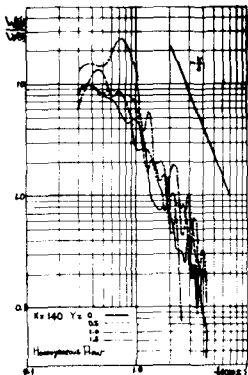


図4-1-2 $X=140$

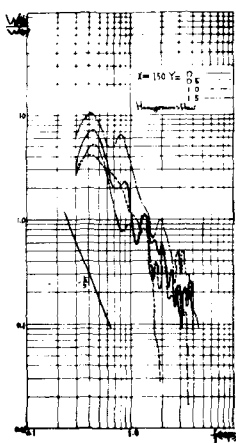


図4-1-3 $X=150$

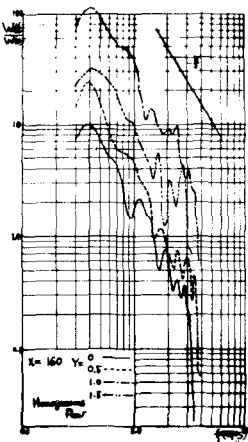


図4-1-4 $X=160$

均質流れにおけるパワースペクトル

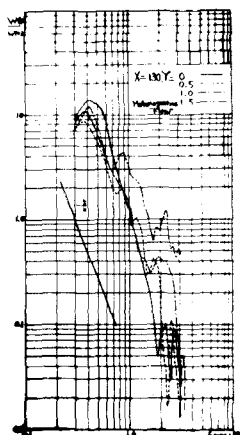


図4-2-1 $X=130$

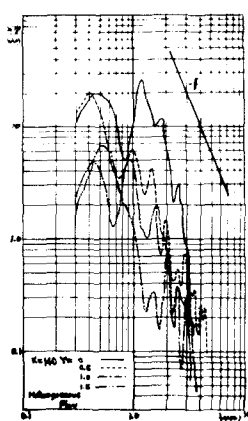


図4-2-2 $X=140$

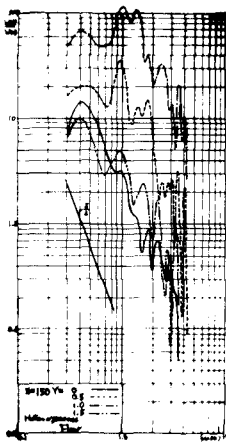


図4-2-3 $X=150$

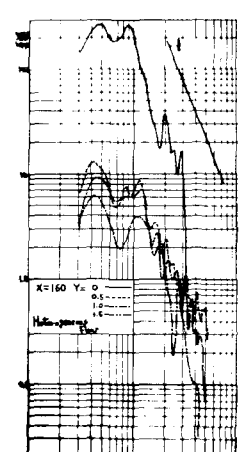


図4-2-4 $X=160$

不均質流れにおけるパワースペクトル

5. あとがき

土砂流のような密度勾配ともつて流れでは、その流速分布や抵抗係数が均質な流体と異なることはすぐりに知られているが、一般に言われるように、層分濃度の変化による密度勾配によっても乱れのスケールは縮小していることがわかる。また、淡温境界面附近の乱流拡散現象の内部境界面の影響が、直接顕著なのは、界面上、たかだか波水尾の10%程度の狭い範囲に限られるようである。さらに、乱れのエネルギーやその送散率とか、渦径、拡散係数などとの関連において、定量的な把握を試みるとともに、濃度変動とか界面の変動とか乱れの場を可視化することにより、もっと有機的な考察も合せてする必要があるのを、今後もこの種の研究を継続してゆきたい。なお、スペクトルの計算は、東北大学計算センターのNEACシリーズ2300および3000を用いたところである。

最後に、実験およびデーター整理にあたって、東北大学工学部学生三村憲一郎君に多大の労と煩わしき。ここに記して感謝の意を表したい。

参考文献

- (1) W.H.Munk and E.R.Anderson "Notes on theory of the thermocline" Journal of Marine Research. Vol.7. No.3. (1948)
- (2) T.H.Ellison and J.S.Turner "Mixing of dense fluid in a turbulent pipe flow" Journal of Fluid Mechanics. Vol.8. (1960)
- (3) A.I.Ippen and Harkman, D.R.F. "Steady-state characteristics of subsurface flow," Gravity wave symposium, Natl. Bur. of Standards Circulation, 521, (1951)
- (4) F.H.Kuengen "Intertacial instability and mixing in stratified flows." Jour. of Res. of the National Bureau of Standards, Vol.43, Nov., (1949)
- (5) 岩崎 "二成層密度流における乱流拡散について" 土木学会.第19回年次学術講演会(1964)
- (6) 鹿児 "淡温水楔の研究。(学士論文)" (1964) "On the resistance coefficient at the interface between salt and fresh water" 土木学会論集. 第2号(1965)
- (7) G.I.Taylor "Effect of variation in density on the stability of superposed streams of fluid," Proc. of the Royal Society of London, Vol.132, Aug. (1931)
- (8) S. Goldstein "On the stability of superposed streams of fluids of different densities" Proc. of the Royal Society of London, Vol.132, Aug. (1931)
- (9) J.W.Miles "Internal waves in a continuously stratified atmosphere or ocean" J. Fluid Mech. (1967), Vol.28, Part 2,
- (10) 岩崎 "河口部淡温境界面における乱流拡散の一実験" 第14回海岸工学講演会講演集(1967)
- (11) 日野 "河川の乱流現象" 1966年度土木学会夏季研究修習会講義集 A. 河川コース.
- (12) R.B.Blackman and J.W.Tukey "The measurement of power spectra from the point of view of communications engineering" Dover.
- (13) J.W.Cooley and J.W.Tukey "IEEE Transactions on audio and electroacoustics" Vol. AU-15 No.2 June (1967)
- (14) V.A.Vanoni "Transportation of suspended sediment by water" Proc. ASCE. Vol. 70, (1944)